



روش جدیدی به جهت درهم‌سازی تصاویر دیجیتال

علیرضا شاه‌حسینی، سید علی اصغر بهشتی شیرازی

دانشگاه علم و صنعت ایران - گروه مخابرات امن

ashahhoseini@ee.iust.ac.ir

abeheshti@iust.ac.ir

چکیده

درهم‌سازی تصاویر دیجیتال، به معنای تولید رشته‌بیت‌هایی وابسته به محتوا از روی تصاویر دیجیتال می‌باشد. در حالت کلی با مقایسه رشته‌های درهم تولیدی از روی دو تصویر می‌توان از یکسان بودن یا تفاوت ماهوی آن دو تصویر اطمینان حاصل نمود. این توابع، یکی از اصلی‌ترین ابزارهای احراز اصالت و اطمینان از دست‌نخورده‌گی تصاویر دیجیتال می‌باشند. درهم‌سازی تصویری پیشنهادی در این مقاله، درهم‌سازی مبتنی بر استخراج نقاط ویژگی تصویر و توصیف این نقاط ویژگی می‌باشد. در اینجا از DoG به جهت استخراج نقاط ویژگی تصویر و از یک روش توصیف مبتنی بر هیستوگرام مقادیر گرادیان روشنایی تصویر، به جهت توصیف نقاط ویژگی استفاده شده است. بررسی‌های انجام شده، گویای آن است که قابلیت تفکیک تصاویر مشابه و متفاوت در رشته‌درهم‌های ۱۶۰۰ بیتی تولیدی در این مقاله، بسیار بهتر از الگوریتم‌های دیگر می‌باشد. از ویژگی‌های جالب الگوریتم پیشنهادی می‌توان به مقاومت بسیار خوب در برابر چرخش با زوایای مختلف تصویر و طول ثابت رشته‌درهم تولیدی اشاره نمود.

واژه‌های کلیدی

درهم‌سازی تصویری، احراز اصالت تصویر، استخراج ویژگی محلی، توصیف ویژگی، نهان‌نگاری

تخمین نموده و خروجی کاملاً متفاوتی ایجاد می‌نماید. MD5 و SHA-1 مشهورترین این الگوریتم‌ها می‌باشند [۲]. تولید چکیده یا درهم سازی تصاویر دیجیتال، به طرح بحث فوق برای تصویر دیجیتال می‌پردازد و امکان احراز اصالت تصویر^۲ و اطمینان از دست‌نخورده‌گی و تمامیت^۳ تصویر را فراهم می‌آورد. این توابع، کاربردهای متفاوت و متعددی دارند و از آنها می‌توان در طراحی الگوریتم‌های واترمارکینگ اثبات‌کننده مالکیت تصاویر دیجیتال [۳-۷]، طراحی الگوریتم‌های واترمارکینگ اثبات‌کننده اصالت تصاویر [۸-۹]، تولید کلید مبتنی بر محتوا در الگوریتم‌های نهان‌نگاری ویدئو [۱۰-۱۱] و... استفاده نمود. تنها تفاوت موجود بین این توابع و توابع درهم‌سازی مطرحه در رمزنگاری اینست که در اینجا تابع درهم‌سازی صرفاً برای دو تصویر واقعاً متفاوت، خروجی متفاوتی تولید می‌نماید و برای دو تصویر مشابه از لحاظ بیننده، خروجی یکسانی تولید می‌گردد.

۱- مقدمه

در رمزنگاری بحثی تحت عنوان توابع درهم‌سازی وجود دارد که از آن به جهت اطمینان از صحت و دست‌نخورده‌گی اطلاعات و احراز اصالت اطلاعات استفاده می‌شود. این توابع بصورت یکطرفه‌ای از یک قطعه طولانی از متن اصلی، یک رشته بیتی کوتاه و معمولاً با طول ثابت استخراج می‌نمایند که خلاصه پیام^۱ نامیده می‌شود. اگر پیام ورودی را با P و خلاصه پیام استخراج شده را با MD(P) نشان دهیم، یکطرفه بودن تابع درهم‌سازی بدین معناست که با داشتن P به راحتی می‌توان MD(P) را محاسبه نمود اما محاسبه P با داشتن MD(P) یا بدست آوردن P' به نحوی که MD(P') = MD(P) عملاً غیرممکن می‌باشد. دیگر خاصیت کلیدی این توابع، حساسیت بالای آنها به پیام می‌باشد. بدین معنا که تغییر حتی یک بیت از پیام ورودی، خروجی تابع درهم‌سازی را دچار تغییرات غیر قابل

² Content Authentication

³ Integrity

¹ Message Digest

در حالت کلی، دو رشته درهم را یکسان گویند هرگاه فاصله همینگ نرمالیزه آنها (تعداد بیت‌های متفاوت دو رشته بیت بخش بر میانگین طول آنها) کوچکتر از حد آستانه α باشد و آنها را متفاوت گویند هرگاه این مقدار بزرگتر از حد آستانه β باشد. اگر I_{ident} ، تصویری مشابه تصویر I و I_{diff} ، تصویری متفاوت از تصویر I باشد و $0 < \theta_1, \theta_2 < 1$ دو پارامتر دلخواه باشند و فاصله همینگ نرمالیزه دو رشته بیت h_1 و h_2 را با $D_H(h_1, h_2)$ نشان دهیم، مشخصات لازم برای یک تابع درهم ساز تصویری ایده‌آل به قرار زیر خواهد بود:

۱. مقاومت^۵: به معنای تولید رشته‌های درهم یکسان بازای تصاویر مشابه می‌باشد. به عبارت فنی‌تر، در یک درهم‌ساز ایده‌آل داریم:

(۱)

$$P\{ D_H[H(I, k), H(I_{ident}, k)] < \alpha \} \geq 1 - \theta_1$$

یک درهم‌ساز ایده‌آل باید در برابر تمام حملاتی که ماهیت تصویر را تغییر نمی‌دهد مقاوم بوده و رشته‌درهم یکسانی را تولید نماید.

۲. شکنندگی^۶: به معنای تولید رشته خروجی کاملاً متفاوت بازای تصاویر غیرمشابه می‌باشد. به عبارت دیگر، در یک درهم‌ساز ایده‌آل داریم:

$$P\{ D_H[H(I, k), H(I_{diff}, k)] > \beta \} \geq 1 - \theta_2 \quad (۲)$$

یک درهم‌ساز ایده‌آل باید بتواند بین تصاویر مختلف (فرضا یک تصویر و نسخ تحریف‌شده آن) تمایز قایل شود.

۳. امن بودن^۷: امنیت یک الگوریتم درهم‌سازی به معنای یکطرفه بودن^۸ و مقاومت در برابر تصادم^۹ آن الگوریتم می‌باشد. یکطرفه بودن یک درهم‌ساز تصویری بدین معناست که نمی‌توان از روی رشته‌درهم موجود، تصویری با رشته‌درهم یکسان تولید نمود. مقاومت در برابر تصادم یک درهم‌ساز نیز بدین معناست که با اطلاع از یک تصویر و رشته درهم معادل آن، نمی‌توان تصویری با رشته درهم یکسان تولید نمود. بعضاً از این خاصیت تعبیر به تصادفی بودن یا غیرقابل تخمین بودن^{۱۰} رشته درهم‌ساز شده است [۱۲] و عنوان شده است که یک تابع درهم‌ساز تصویری ایده‌آل، تابعی است که رابطه:

$$P\{ H(I, k) = v \} \approx \frac{1}{2^q} \quad \forall v \in \{0, 1\}^q \quad (۳)$$

به عبارت دیگر، اجرای الگوریتم درهم‌سازی بر روی تصویر اصلی و نسخ تغییر یافته آن بر اثر حملات عمدی و غیرعمدی پردازشی مانند اضافه کردن نویز، هموار کردن^۱، فیلتر کردن و ... و حملات هندسی مانند برش، چرخش و ... باید به خروجی یکسانی منجر می‌گردد. از آنجا که این توابع، در حقیقت مشخصات ضروری تصویر را ذخیره می‌نمایند و به تغییرات قابل ادراک تصویر حساس می‌باشند، از آنها تعبیر به توابع درهم‌ساز تشخیصی^۲، امضای دیجیتال تصویر^۳ و image fingerprint نیز می‌شود.

تاکنون، الگوریتم‌های درهم‌ساز تصویری بسیار متنوعی ارائه شده است. در [۱۲-۱۳] مرور جامعی بر این الگوریتم‌ها انجام شده است. در این مقاله، بر دسته خاصی از این الگوریتم‌ها، یعنی الگوریتم‌های درهم‌سازی مبتنی بر استخراج ویژگی محلی، تمرکز شده است. تولید رشته‌درهم در الگوریتم‌های درهم‌سازی مبتنی بر استخراج ویژگی، با استفاده از ویژگی‌های محلی استخراج شده از تصویر می‌باشد. مراد از یک ویژگی محلی، نقطه یا ناحیه‌ای از تصویر می‌باشد که متمایز از نقاط و نواحی موجود در همسایگی‌اش است. به عبارت کلی‌تر، الگوی^۴ مستخرج از تصویر در آن نقطه یا ناحیه، متمایز از نقاط یا نواحی موجود در همسایگی‌اش می‌باشد. در آن نقطه یا ناحیه، شاهد تغییری بارز در یک یا چند خصیصه بصری تصویر (مانند شدت روشنایی، رنگ و بافت) می‌باشیم.

الگوریتم‌های [۱۴] Dittman، [۱۵] Monga، [۱۶] Bhattecharjee و [۱۷] Lu، اهم الگوریتم‌های مبتنی بر استخراج نقطه‌ویژگی می‌باشند که تاکنون پیشنهاد شده است. تقریباً همه این الگوریتم‌ها، الگوریتم‌هایی با مقاومت بسیار کم و شکنندگی بسیار بالا می‌باشند و رشته‌درهم‌هایی با طول غیرثابت تولید می‌نمایند. در این میان، تنها الگوریتم Lu می‌باشد که مقاومت بهتری دارد. به همین دلیل، الگوریتم پیشنهادی را با این الگوریتم مقایسه نموده‌ایم.

در ادامه، ابتدائاً بحث مختصری در باب الزامات یک تابع درهم‌ساز تصویری انجام شده است و سپس به تبیین الگوریتم پیشنهادی و بررسی مشخصات آن پرداخته شده است.

۲- الزامات یک تابع درهم‌ساز تصویری

بنا به تعریف، یک درهم‌ساز تصویری، تابعی است که $I \in F$ (که در آن، F مجموعه تمام تصاویر طبیعی دارای ابعاد محدود می‌باشد) و کلید اختیاری k را به عنوان ورودی پذیرفته و رشته باینری $hash = H(I, k)$ را در خروجی خود تولید می‌نماید.

⁵ Robustness

⁶ Fragility

⁷ Security

⁸ One way Property

⁹ Collision Resistance

¹⁰ Unpredictability

¹ Smoothing

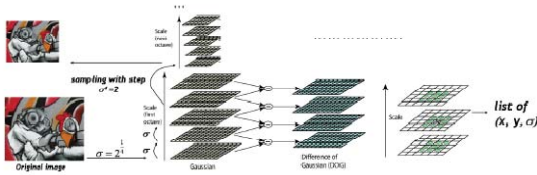
² Perceptual Hash

³ Image Signature

⁴ Pattern

ب) استخراج نقطه ویژگی

استخراج نقطه ویژگی، یکی از مطرح ترین بحثهای عرصه پردازش تصویر، در طی ۵۰ سال گذشته و یکی از مهمترین اجزای ساختار پیشنهاد شده در این مقاله می باشد. بخش عمده ای از عملکرد این ساختار، مرهون استفاده از یک تابع استخراج نقطه ویژگی مناسب می باشد. شمایی کلی از تابع استخراج نقطه ویژگی استفاده شده در این مقاله، در شکل ۲ نشان داده شده است. از این الگوریتم، در [۲۰] و [۲۱] به جهت تشخیص شیء و تطبیق تصاویر استفاده شده است.



شکل ۲: شمایی از چگونگی استخراج نقطه ویژگی در الگوریتم پیشنهادی [۲۱]

گام اول در استخراج نقاط ویژگی، محاسبه نمایش مکان مقیاس تصویر می باشد. برای محاسبه هر سطح از نمایش مکان مقیاس در اینجا، از امتزاج تصویر اصلی با یک هسته گاوسی متقارن استفاده شده است. سطح اول یا سطح پایینی این نمایش، نتیجه امتزاج تصویر اصلی با یک هسته گاوسی با واریانس σ_0^2 می باشد. هر سطح بعدی نمایش نیز از امتزاج سطح قبلی نمایش با یک هسته گاوسی با واریانس s^2 بدست آمده است. به بیانی دیگر می توان گفت که سطح n ام در نمایش مکان مقیاس یک تصویر، نتیجه امتزاج تصویر اصلی با یک هسته گاوسی با انحراف استاندارد $\sigma_n = \sigma_0 s^n$ می باشد.

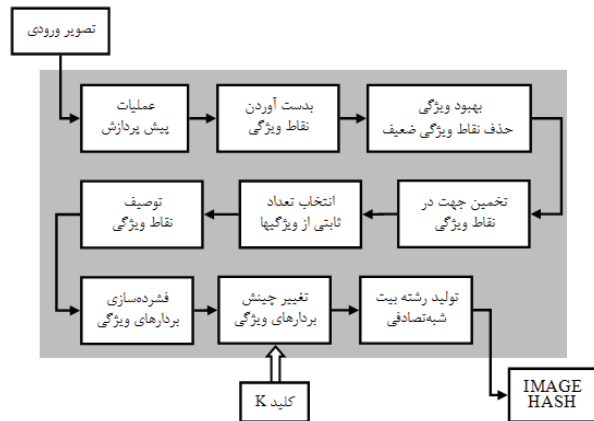
به جهت کاهش بار محاسباتی تولید نمایش مکان مقیاس، معمولاً به موازات افزایش ضریب مقیاس در نمایش مکان مقیاس، نرخ نمونه برداری کاهش داده می شود. از چنین نمایش مکان مقیاسی اغلب تحت عنوان هرم مکان مقیاس نام برده می شود در حالت کلی، کاهش نرخ نمونه برداری باید بگونه ای باشد که منجر به aliasing نگردد. برای این منظور بعد از هر Octave (دو برابر شدن ضریب مقیاس) از تصویر اصلی، نرخ نمونه برداری، $1/2$ شده است و در فاصله هر Octave، نرخ نمونه برداری بلا تغییر مانده است. در ادامه، همانطور که در شکل ۲ نیز نشان داده شده است، با محاسبه تفاضل هر سطح از نمایش با سطح قبلی آن، نمایش مکان مقیاس با هسته DoG تصویر، تولید می شود و نقاط اکسترمم این نمایش مکان مقیاس، به عنوان نقطه ویژگی معرفی می شود. مراد از یک نقطه ویژگی در اینجا، نقطه ای است که قدر مطلق مقدار آن، بزرگتر از قدر مطلق مقدار ۲۶ نقطه موجود در همسایگی آن نقطه در هرم DoG تصویر می باشد.

در مورد آن صادق می باشد. اگرچه برخی مبتنی بر کلید بودن را یک شرط الزامی برای امنیت الگوریتم دانسته اند [۱۳]، اما الگوریتمهای درهم سازی غیرمبتنی بر کلیدی نیز موجود می باشد.

اینکه آیا امکان طراحی تابع درهم ساز تشخیصی برآورده کننده سه شرط فوق وجود دارد یا نه (در یک زمان معقول) یک مسأله حل نشده است [۱۵] و هیچ کس در باب آن ادعا نکرده است و تاکنون هیچ سیستمی که سه شرط فوق را برای θ_1, θ_2 و q مشخص و دلخواه برآورده کند، ارائه نشده است. نکته مهم دیگر اینست که سه شرط فوق دارای همپوشانی و تداخل معانی می باشند و الگوریتمهای درهم سازی باید موازنه ای بین این شروط برقرار نمایند.

۳- الگوریتم پیشنهادی

ساختار کلی الگوریتم درهم سازی پیشنهادی، در شکل ۱ نشان داده شده است. این ساختار، ساختاری متشکل از نه تابع پیش پردازش، استخراج نقاط ویژگی، بهبود ویژگی و حذف نقاط ویژگی ضعیف، تخمین جهت در نقاط ویژگی، انتخاب تعداد ثابتهای از نقاط ویژگی، توصیف نقاط ویژگی بردارهای ویژگی، مبتنی بر کلید کردن چینش بردارهای ویژگی و تولید رشته بیت تصادفی می باشد و رشته درهمی با طول ثابت ۱۶۰۰ بیت تولید می نماید. ذیلاً به تبیین این توابع پرداخته شده است.



شکل ۱: ساختار کلی الگوریتم پیشنهادی

الف) عملیات پیش پردازش

در این مرحله یک سری عملیات پیش پردازش انجام می شود که در کل، تاثیر بسیار مثبتی بر عملکرد هر الگوریتم درهم سازی دارد [۱۵ و ۱۷]. تبدیل تصویر ورودی، به تصویری با ابعاد 256×256 ، تبدیل تصویر رنگی ورودی به تصویری با سطوح خاکستری، اصلاح هیستوگرام و استفاده از روشهای کاهش نویز از جمله این عملیات می باشد.

نقطه‌ویژگی نزدیکتر می‌باشد، انتخاب می‌شود. این کار باعث می‌شود که محاسبات در یک فضای ناورد در برابر تغییر مقیاس صورت گیرد. اندازه $m(x, y)$ و جهت $\theta(x, y)$ گرادیان تصویر در هر پیکسل از تصویر $L(x, y)$ را می‌توان با استفاده از روابط:

$$m(x, y) = [(L(x+1, y) - L(x-1, y))^2 + (L(x, y+1) - L(x, y-1))^2]^{0.5} \quad (7)$$

$$\theta(x, y) = \tan^{-1} \left(\frac{L(x, y+1) - L(x, y-1)}{L(x+1, y) - L(x-1, y)} \right)$$

محاسبه نمود. در اینجا برای بدست آوردن جهت در هر نقطه-ویژگی، از هیستوگرام مقادیر $\theta(x, y)$ واقع در دایره‌ای به شعاع $1.5s$ (s ، مقیاس اشکارسازی نقطه‌ویژگی) به مرکز آن نقطه‌ویژگی استفاده شده است. هیستوگرام مورد استفاده در اینجا، دارای ۳۶ ناحیه می‌باشد. در حالتی که بازای یک (x, y) واقع در همسایگی یک نقطه‌ویژگی، $\theta(x, y)$ مقداری بین $10 \times n$ و $10 \times (n-1)$ درجه داشته باشد، ناحیه n ام هیستوگرام وزن‌دهی شده است. مقدار این وزن‌دهی، متناسب با حاصلضرب $m(x, y)$ و پنجره گاوسی دایروی به مرکز نقطه‌ویژگی و انحراف استاندارد برابر با $1.5s$ می‌باشد. زاویه متناظر با ناحیه‌ای از هیستوگرام که بیشترین مقدار را دارد، به عنوان تخمینی از جهت اصلی تصویر در نقطه‌ویژگی، منظور شده است. تخمین جهت در نقاط ویژگی، چهارمین گام اجرایی الگوریتم پیشنهادی می‌باشد. از این پارامتر، در ارائه توصیف ناورد نسبت به چرخش از نقطه‌ویژگی استفاده شده است.

ه) انتخاب تعداد ثابتی از ویژگیها

تا این مرحله از الگوریتم، تعداد متغیری ویژگی انتخاب شده است و به هر یک زوج مرتبی به فرم (x, y, s, θ) تخصیص داده شده است. در این مرحله، از میان تعداد غیرثابت ویژگی تولیدشده، ۵۰ ویژگی که اساسی‌تر می‌باشند و مقیاس اشکارسازی آنها بزرگتر می‌باشد، انتخاب شده است. بررسیهای انجام شده [۱] گویای آن است که انتخاب تعداد کمتر نقطه-ویژگی، منجر به کاهش شکنندگی الگوریتم و انتخاب تعداد بیشتر نقطه‌ویژگی، منجر به کاهش مقاومت الگوریتم می‌گردد.

و) توصیف نقاط ویژگی

توصیف نقاط ویژگی، دیگر کار انجام شده در الگوریتم پیشنهادی می‌باشد. در اینجا هر نقطه ویژگی استخراج شده، با توجه به مختصات اطرافش توصیف می‌شود. در روش توصیف ویژگی استفاده شده در طرح پیشنهادی، هر نقطه ویژگی با یک بردار ۱۲۸ تایی توصیف می‌شود. در بررسی صورت گرفته در [۱۹] نشان داده شده است که این روش توصیف نقطه‌ویژگی که برای اولین بار در [۲۰] مورد استفاده قرار گرفته، یکی از

ج) حذف نقاط ویژگی ضعیف

نقاط ویژگی قرار گرفته بر لبه‌های تصویر، نقاط ویژگی بسیار ناپایداری بوده و به مقادیر بسیار کوچک نویز به شدت حساس باشد [۲۰]. برای حل مشکل و بهبود نتایج، نیازمند یک مرحله فیلترکردن اضافی می‌باشیم تا نقاط قرار گرفته بر لبه‌های تصویر (که شائبه ناپایدار بودن آنها وجود دارد) را حذف نماییم. مشخصه بارز این نقاط این است که در آنها صرفاً در یک جهت شاهد تغییر می‌باشیم. در این نقاط، مقدار انحنا^۱ در جهت لبه، مقداری بزرگ و مقدار انحنا در جهت عمود بر آن، مقداری کوچک می‌باشد. این دو مقدار انحنا را می‌توان از روی ماتریس Hessian محاسبه شده در مختصات و مقیاس نقطه‌ویژگی که فرمی بصورت:

$$H = \sigma^2 \begin{bmatrix} L_{xx}(x, y, \sigma) & L_{xy}(x, y, \sigma) \\ L_{xy}(x, y, \sigma) & L_{yy}(x, y, \sigma) \end{bmatrix} \quad (8)$$

دارد، محاسبه نمود. مقادیر ویژه این ماتریس، مقدار انحنا در جهت و عمود بر جهت لبه در مختصات مورد بحث می‌باشد [۱۸]. ما در اینجا نیازی به محاسبه مقادیر ویژه نداریم. صرفاً باید نسبت مقادیر ویژه را مورد بررسی قرار دهیم. با استفاده از جبرخطی ثابت می‌شود که:

$$\begin{aligned} \text{Trace}(H) &= L_{xx} + L_{yy} = \alpha + \beta \\ \text{Det}(H) &= L_{xx}L_{yy} - (L_{xy})^2 = \alpha\beta \end{aligned} \quad (9)$$

α در این رابطه، مبین مقدار ویژه بزرگتر ماتریس H و β مبین مقدار ویژه کوچکتر آن می‌باشد. با تعریف $r = \alpha / \beta$ ، خواهیم داشت:

$$\frac{\text{Trace}(H)^2}{\text{Det}(H)} = \frac{(\alpha + \beta)^2}{\alpha\beta} = \frac{(r+1)^2}{r} \quad (10)$$

در صورتی که مقادیر ویژه ماتریس H یکسان باشند، این نسبت، حداقل مقدار خود را دارا می‌باشد و با افزایش r ، مقدار آن افزایش می‌یابد. حداکثر r مجاز منظور شده در اینجا برابر ۱۰ می‌باشد و نقاط ویژگی با r بزرگتر از ۱۰، به عنوان نقاط ویژگی قرار گرفته بر روی لبه منظور شده و حذف شده‌اند.

د) تخمین جهت در نقطه‌ویژگی

در این مرحله اجرایی از الگوریتم، به هر نقطه‌ویژگی یک مولفه θ (مبین جهت در نقطه‌ویژگی) نسبت داده می‌شود. برای محاسبه θ در یک نقطه ویژگی، ابتدا سطح $L(x, y)$ از نمایش مکان‌مقیاس تصویر که ضریب مقیاس آن به مولفه مقیاس آن

¹ Curvature

باشد، ناحیه n ام هیستوگرام (که در هیستوگرام‌های شکل ۳-ب با برداری با زاویه $45 \times n$ از افق نشان داده شده است) وزن دهی می‌شود. مقدار این وزن دهی، متناسب با $|a_{ij}|$ (اندازه مولفه سطر i ام و ستون j ام بلوک) می‌باشد. بنابراین در حالت کلی، هر مولفه بلوک، موجب وزن دهی تنها یکی از نواحی هیستوگرام متناظر با آن بلوک می‌گردد. با توجه به اینکه در اینجا هر بلوک 4×4 ، با یک بردار به طول ۸ توصیف شده است، هر نقطه ویژگی، توصیفی بطول $8 \times (r/4) \times (r/4)$ خواهد داشت. با توجه به انتخاب $r=16$ در پیاده‌سازی انجام شده، طول بردار توصیف‌کننده هر نقطه ویژگی برابر ۱۲۸ می‌باشد.

ز) فشرده‌سازی بردارهای ویژگی

تا این مرحله، هر نقطه ویژگی با یک بردار بطول ۱۲۸ توصیف شده است. در این مرحله سعی شده است تا به نوعی طول این بردار کاهش یابد. در این مرحله، از تبدیل DWT که یکی از متداولترین روشهای کاهش طول بردار ویژگی می‌باشد، استفاده شده است. در اینجا با دوبرار اعمال تبدیل موجک و در نظر گرفتن مولفه‌های تقریب، بردارهای ۱۲۸ مولفه‌ای توصیف‌کننده، به بردارهایی بطول ۳۲ تبدیل شده است. بررسیهای [۱] گویای مناسب بودن این درجه از فشرده‌سازی می‌باشد.

ح) چینش مبتنی بر کلید

این مرحله، اختیاری بوده و Hash تصویری را به یک MAC تصویری تبدیل می‌نماید. در مقالات، تاکید زیادی بر مبتنی بر کلید بودن پروسه درهم‌سازی وجود دارد. در اینجا با استفاده از یک کلید تصادفی، چینش عناصر بردارهای ویژگی بدست آمده را تغییر می‌دهیم. این کار سبب پیچیده‌تر شدن و مبتنی بر کلید شدن ارتباط بین خروجی و ورودی تابع درهم‌ساز می‌گردد.

ط) فاز نهایی

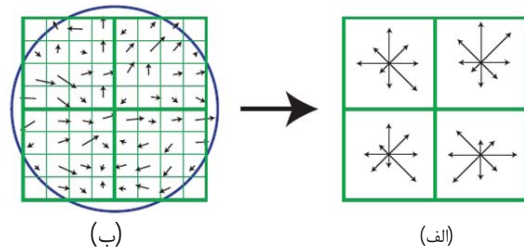
در این مرحله، مولفه‌های هر یک از بردارهای توصیف‌کننده ویژگی بدست آمده تا این مرحله، با مقدار میانگین مقایسه می‌شود و در صورتی که مقدار یک مولفه بردار بزرگتر از مقدار میانگین بردار باشد، آن مولفه با ۱ و در صورتی که مقدار مولفه کوچکتر از مقدار میانگین بردار باشد، آن مولفه با صفر جایگزین می‌شود. به عبارت دیگر، هر یک از بردارهای ۳۲ مولفه‌ای موجود، به یک رشته ۳۲ بیتی تصادفی تبدیل می‌شود. در اینجا ما ۵۰ رشته ۳۲ بیتی داریم که هر یک از آنها حاوی تعداد برابری صفر و یک می‌باشد و توصیفی از یک نقطه ویژگی ارائه می‌دهد. رشته درهم ۱۶۰۰ بیتی نهایی، از چینش کنار هم این ۵۰ رشته ۳۲ بیتی بدست می‌آید.

بهترین روشهای توصیف نقطه‌ویژگی قابل استفاده در تطبیق-تصاویر^۱ می‌باشد.

در اینجا ابتدا بازای هر نقطه‌ویژگی، سطح $L(x,y)$ از نمایش مکان مقیاس تصویر که ضریب مقیاس آن به مولفه مقیاس آن نقطه‌ویژگی (s) نزدیکتر می‌باشد، انتخاب شده است و سپس تصاویر $m(x,y)$ و $\theta(x,y)$ متناظر با تصویر $L(x,y)$ ، با استفاده از رابطه ۷ محاسبه شده و تصویر $m(x,y)$ ، با استفاده از یک پنجره گاوسی دایروی به مرکز نقطه‌ویژگی و انحراف استاندارد برابر با $r/2$ ، پنجره شده است و تصویر $m(x,y)$ ، تولید شده است.

توصیف نقطه‌ویژگی ارائه شده در اینجا، توصیفی ناورد نسبت به چرخش می‌باشد. در اینجا از دستگاه مختصاتی به مرکزیت نقطه‌ویژگی استفاده شده است. محور x ‌های این دستگاه مختصات، محور با زاویه θ از افق و محور y ‌های این دستگاه مختصات، محور با زاویه $90 + \theta$ از افق می‌باشد. هر یک از نقاط ویژگی، با استفاده از مقادیر اندازه‌گردان پنجره‌شده $n(x,y)$ و زاویه گردان $\theta(x,y)$ در $r \times r$ نقطه با فاصله یکنواخت موجود در ناحیه مربعی $\{(x',y') | -r < x' < r, -r < y' < r\}$ از دستگاه مختصات متناظر با آن نقاط ویژگی، توصیف شده است. بنابراین، تا این مرحله توانسته‌ایم هر نقطه‌ویژگی را با یک ماتریس $r \times r$ حاوی مولفه‌های مختلط، توصیف نماییم. این امر در شکل ۳-الف نشان داده شده است. همانطور که مشاهده می‌شود، در این شکل، r برابر ۸ می‌باشد و از ۶۴ بردار دو بعدی برای توصیف نقطه‌ویژگی، استفاده شده است. دایره نشان داده شده در این شکل، نمادی از پنجره گاوسی استفاده شده می‌باشد.

در ادامه، ماتریس $r \times r$ حاصله به بلوکهای ناهمپوشان 4×4 تقسیم شده و هیستوگرام هر بلوک محاسبه می‌شود. خطوط پررنگ در شکل ۳-الف نشان‌دهنده مرز بلوکهای 4×4 می‌باشد. شکل ۳-ب نشان‌دهنده نحوه محاسبه هیستوگرام در هر بلوک می‌باشد. هیستوگرام محاسبه شده در اینجا، متشکل از ۸ ناحیه می‌باشد. در صورتی که زاویه مولفه سطر i ام و ستون j ام بلوک



شکل ۳: شمایی از عملکرد الگوریتم توصیف ویژگی

$(\angle a_{ij})$ ، مقداری بین $45 \times (n-1)$ و $45 \times n$ درجه داشته

¹ Image Matching

۴- ارزیابی الگوریتم پیشنهادی

در این بخش از گزارش، به بررسی عملکرد الگوریتم پیشنهادی پرداخته شده است. تمام بررسی‌های این فصل، بر روی پنجاه تصویر طبیعی موجود در پایگاه داده USC-SIPI [۲۲] انجام شده است و از نرم‌افزار Matlab برای پیاده‌سازی الگوریتمها، مقایسه نتایج و رسم نمودارها استفاده شده است. در این قسمت از مقاله، عملکرد الگوریتم پیشنهادی، با عملکرد دو الگوریتم $Mihcak$ [۲۳] و Lu [۱۷] مقایسه شده است. نتایج گزارش شده توسط مولفین، گویای آن است که در بین الگوریتمهای مبتنی بر استخراج نقطه‌ویژگی موجود، تنها الگوریتم Lu از مقاومت قابل قبولی برخوردار می‌باشد. الگوریتم $Mihcak$ نیز یکی از معروف‌ترین و مقاوم‌ترین الگوریتمهای غیرمبتنی بر استخراج نقطه‌ویژگی موجود می‌باشد. دلیل مقایسه الگوریتم پیشنهادی با این دو الگوریتم، همین می‌باشد.

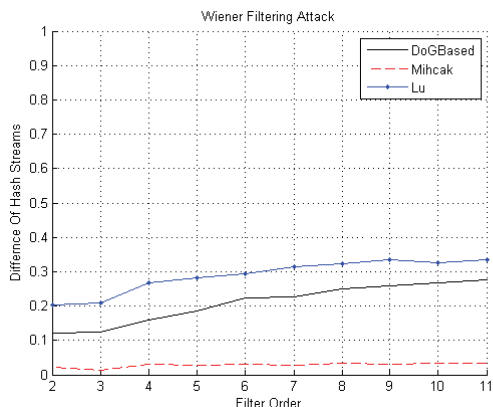
در حالت کلی، فاصله همینگ نرمالیزه بین رشته‌های درهم تولید شده توسط یک الگوریتم درهم‌سازی، متداولترین معیار برآورد عملکرد آن الگوریتم درهم‌سازی می‌باشد. بنا به تعریف، فاصله همینگ نرمالیزه بین دو رشته بیت، تعداد بیت‌های متفاوت آن دو رشته بیت بخش بر میانگین طول آنها می‌باشد. این معیار را نمی‌توان مستقیماً در مورد الگوریتمهای مبتنی بر استخراج نقطه‌ویژگی بکار برد. علت این است که رشته درهم تولیدی در الگوریتمهای مبتنی بر استخراج نقطه‌ویژگی، رشته درهم تولیدی، یکتا نمی‌باشد. در این الگوریتمها، ابتدا تعدادی نقطه‌ویژگی استخراج می‌شود و سپس هر نقطه‌ویژگی با یک رشته بیت با طول مشخص (فرضاً ۶۴ بیت در الگوریتم Lu)، توصیف می‌شود. رشته درهم نهایی در این الگوریتمها، از کنارهم قرار دادن این رشته‌بیت‌های توصیف‌کننده نقاط ویژگی، تولید می‌شود. برای مقایسه دو رشته درهم در اینجا، ابتدا باید رشته بیت‌های توصیف‌کننده معادل، تعیین شود. دو رشته بیت توصیف‌کننده معادل، دو رشته بیت توصیف‌کننده‌ای می‌باشند که فاصله همینگ نرمالیزه بین آنها، کوچکتر از حد آستانه ۰.۱۵ و کوچکتر از فاصله همینگ نرمالیزه بین آن رشته بیت و دیگر رشته‌بیت‌های توصیف‌کننده مستخرج از رشته درهم دوم می‌باشد. در ادامه، چینش یکسانی را در مورد رشته‌بیت‌های توصیف‌کننده در دو رشته درهم، اعمال می‌نماییم بگونه‌ای که رشته‌بیت‌های توصیف‌کننده معادل در دو رشته درهم، موقعیت یکسانی داشته باشند. فاصله همینگ نرمالیزه بین رشته‌های درهم تولید شده توسط یک الگوریتم درهم‌سازی مبتنی بر استخراج نقطه‌ویژگی، فاصله همینگ نرمالیزه بین این دو رشته درهم می‌باشد.

مطلوب ما این است که فاصله همینگ نرمالیزه بین رشته‌های درهم مستخرج از دو تصویر متفاوت نیز مقداری نزدیک ۰.۵

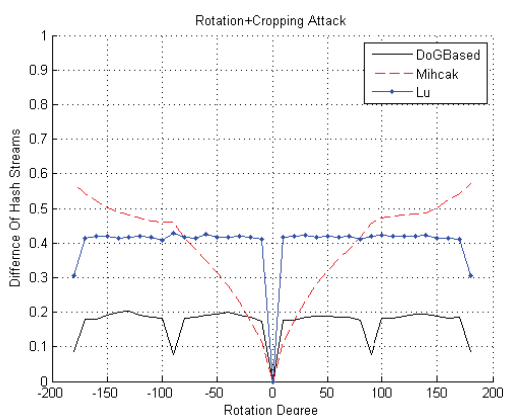
داشته باشد. نزدیک ۰.۵ بودن این مقدار را می‌توان به منزله تصادفی بودن خروجی درهم‌ساز نیز تفسیر نمود. با مشاهده شکل ۴، می‌توان به عملکرد مطلوب‌تر الگوریتم پیشنهادی در تشخیص تصاویر متفاوت، پی برد. این شکل، از مقایسه ۲۴۵۰ زوج تصویر متفاوت تولید شده است. همانطور که مشاهده می‌شود، الگوریتم پیشنهادی دارای عملکرد مطلوبی می‌باشد. از طرف دیگر، مبتنی بر کلید کردن فرایند تولید رشته‌درهم، منجر به پیچیده‌تر شدن رابطه بین رشته‌درهم و تصویر، افزایش میزان "غیرقابل تخمین بودن" رشته‌درهم و نتیجتاً افزایش امنیت الگوریتم می‌گردد.

شکل‌های ۷، ۶، ۵ و ۸ به ترتیب نشان‌دهنده مقاومت الگوریتم پیشنهادی، در برابر حملات فشرده‌سازی باتلف، نوز، فیلتر میانه و چرخش می‌باشند. محور عمودی در این شکلها، فاصله همینگ نرمالیزه بین تصویر اصلی و تصویر تغییر یافته بر اثر حمله را نشان می‌دهد. همانطور که مشاهده می‌شود، مقاومت الگوریتم پیشنهادی، در همه موارد مطلوب‌تر از مقاومت الگوریتم Lu می‌باشد. این در حالی است مقاومت الگوریتم پیشنهادی در برابر حملات پردازشی مانند اضافه کردن نوز، فشرده‌سازی باتلف و فیلتر کردن، کمتر از مقاومت الگوریتم $Mihcak$ می‌باشد. با این وجود، شکل ۸ نشان می‌دهد که مقاومت الگوریتم پیشنهادی در برابر حملاتی مانند چرخش، بسیار بیشتر از مقاومت الگوریتم $Mihcak$ می‌باشد.

مسئله احراز اصالت تصویر را می‌توان یک مسأله آزمون فرضیه دو فرضی دانست و قابلیت یک الگوریتم درهم‌سازی در تمیز دادن تصاویر مشابه و متفاوت را می‌توان متناظر با قابلیت آن الگوریتم در طبقه‌بندی مناسب تصویر دریافتی دانست. نمودار ROC، نموداری است که با نشان دادن رابطه بین احتمال تشخیص صحیح شباهت دو تصویر (P_D) و احتمال عدم تشخیص تفاوت دو تصویر (P_F)، مقایسه عملکرد الگوریتمهای درهم‌سازی را به بهترین وجه، ممکن می‌سازد [۱۵]. در شکل ۹، نمودار ROC الگوریتم پیشنهادی، با نمودار ROC الگوریتمهای $Mihcak$ و Lu مقایسه شده است. برای رسم این نمودار، از ۲۴۵۰ مقایسه بین رشته‌درهم‌های حاصل از تصاویر متفاوت و ۱۸۴۰۰ مقایسه بین رشته‌درهم‌های حاصل از تصاویر مشابه استفاده شده است. از این شکل مشاهده می‌شود که الگوریتم پیشنهادی، بهترین عملکرد را در تفکیک تصاویر مشابه و متفاوت، از خود نشان می‌دهد. در جدول ۱، مقایسه‌ای کیفی بین این الگوریتم و دیگر الگوریتمهای نامبرده شده در این مقاله انجام شده است. این جدول بر اساس بررسی‌های انجام شده در این بخش، نتایج گزارش شده توسط نویسندگان مقالات و دیگر نویسندگان و شبیه‌سازیهای مجدد انجام شده، تنظیم شده است. این جدول، گویای موفقیت الگوریتم



شکل ۷: مقاومت الگوریتم در برابر فیلتر میانه از درجه‌های مختلف

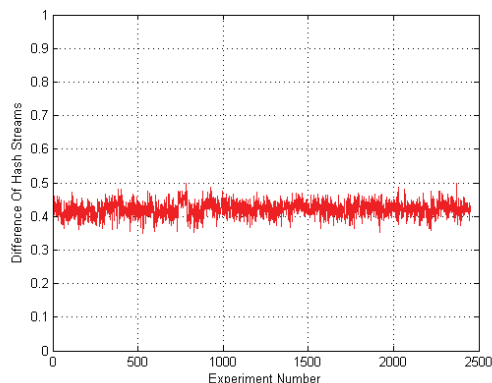


شکل ۸: مقاومت الگوریتم در برابر چرخش با زوایای مختلف

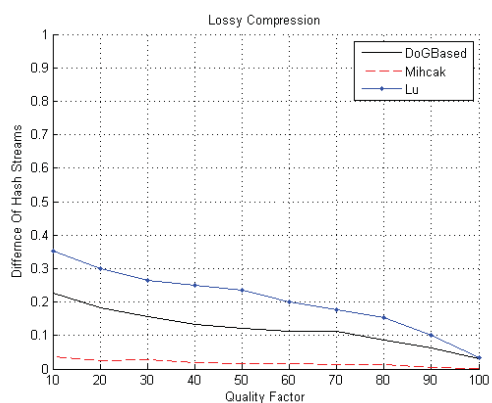
جدول ۱: مقایسه کیفی الگوریتم‌های پیشنهادی و دیگر الگوریتم‌های درهم سازی موجود

طول رشته درهم	امنیت	شکنندگی	مقاومت	
۱۰۲۴ بیت	متوسط	متوسط	متوسط	الگوریتم Mihcak
متغیر	خوب	خوب	ضعیف	الگوریتم Dittman
متغیر	متوسط	خوب	ضعیف	الگوریتم Bhattacharjee
متغیر	متوسط	خوب	متوسط	الگوریتم Mougá
متغیر	خوب	متوسط	متوسط	الگوریتم Lu
۱۶۰۰ بیت	خوب	خوب	خوب	الگوریتم مبتنی بر DOG پیشنهادی

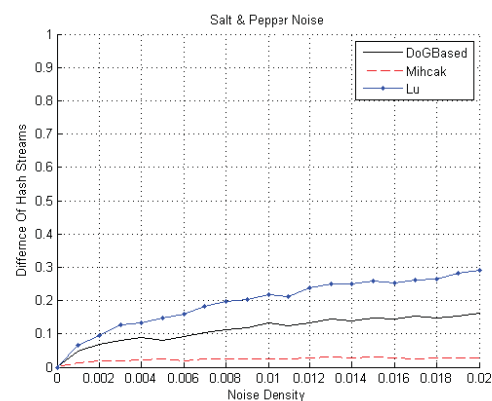
پیشنهادی، در تولید یک رشته درهم مبتنی بر استخراج نقطه-ویژگی مقاوم، امن، شکننده و با طول ثابت می‌باشد.



شکل ۴: فاصله همینگ بین رشته درهم‌های مستخرج از تصاویر متفاوت

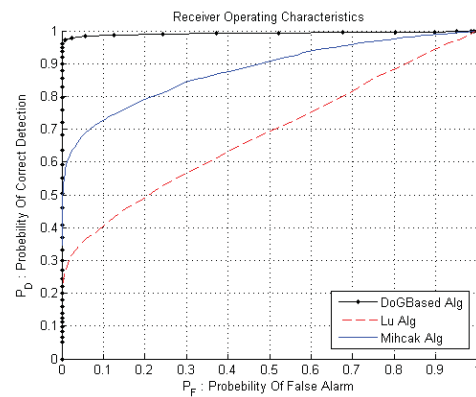


شکل ۵: مقاومت الگوریتم در برابر فشردگی با تلف با کیفیت‌های مختلف



شکل ۶: مقاومت الگوریتم در برابر نویز فلغل نمکی با واریانس‌های مختلف

- IEEE Trans. Image Process., vol.13, no. 10, pp. 1393–1408, Oct. 2004.
- [9] L. Xie and G. R. Arce, " A class of authentication digital watermarks for secure multimedia communication " , IEEE Trans. on Image Processing, vol. 10, pp. 1754-1764, Nov. 2001.
- [10] B.Coskum , B.Sankur , N.Memon , " Spatio-Temporal transform based video hashing " , IEEE Trans. On Multimedia , Vol. 8 , No. 6 , DEC 2006.
- [11] C.Roover , C.Vleechouwer , F.Lefebvre , B.Macq " Robust video hashing based on radial projections of key frames " , IEEE Trans. on Signal Processing , Vol.53 , No.10 ,Oct 2005.
- [12] S.Wang , X.Zhang , "Recent developments of perceptual image hashing" ,Journal Of Shanghai University, 2007.
- [13] S.Han , C.H.Chu , S.Yang , 'Content-Based Image Authentication: Current Status, Issues, and challenges',IEEE International Conference Of Semantic Computing, 2007.
- [14] J.Dittman, A. Steinmetz, and R. Steinmetz, "Content based digital signature for motion picture authentication and content-fragile watermarking", Proc. IEEE Int. Conf. Multimedia Computing and Systems, pp. 209–213, 1999.
- [15] V.Monga , B.Evans , " Perceptual image hashing via feature points : Performance Evaluation and Tradeoffs " , IEEE Trans . on Image Processing , Vol 15, No.11 , Nov 2006 .
- [16] S.Bhatacherjee , M.Kutter, " Compression tolerant image authentication " , presented at the IEEE Conf. Image Processing, 1998.
- [17] C.-S. Lu, C.-Y. Hsu , " Geometric distortion-resilient image hashing scheme and its applications on copy detection and authentication",Journal Of Multimedia Systems ,2005.
- [18] C. Harris and M. Stephens, "A combined corner and edge detector," in Alvey Vision Conference, pp. 147–151, 1988.
- [19] K. Mikolajczyk and C. Schmid, "A performance evaluation of local descriptors," IEEE Transactions on Pattern Analysis and Machine Intelligence, vol. 27, no. 10, pp. 1615–1630, 2005.
- [20] D. G. Lowe. Object recognition from local scale-invariant features. In Proceedings of the 7th International Conference on Computer Vision, Kerkyra, Greece, 1999.
- [21] D. Lowe, "Distinctive image features from scale-invariant keypoints," International Journal of Computer Vision, vol. 2, no. 60, pp. 91–110, 2004.
- [22] "USC-SIPI database" , <http://sipi.usc.edu/database/>, 2004.
- [23] K. Mihcak and R. Venkatesan, " New iterative geometric techniques for robust image Hashing " , Proc. ACM Workshop on Security and Privacy in Digital Rights Manage-ment, pp. 13-21, Nov. 2001.



شکل ۹: مقایسه نمودار ROC الگوریتمهای درهم‌سازی مختلف

۵- نتیجه‌گیری

در این مقاله، یک الگوریتم درهم‌سازی مبتنی بر استخراج نقطه-ویژگی جدید پیشنهاد داده شد و نشان داده شد که این الگوریتم، از مقاومت، شکنندگی و امنیت مناسبتری در مقایسه با الگوریتمهای مبتنی بر استخراج نقطه‌ویژگی موجود و بسیاری از الگوریتمهای غیرمبتنی بر استخراج نقطه‌ویژگی موجود، برخوردار می‌باشد (جدول ۱). مقاومت بسیار مناسب در برابر چرخش با زوایای مختلف تصویر (حداکثر تغییر برابر با ۰.۲)، طول ثابت ۱۶۰۰ بیتی رشته‌درهم و تصادفی بودن آن را می‌توان از ویژگیهای بارز الگوریتم پیشنهادی دانست.

مراجع

- [۱] علیرضا شاه‌حسینی "طراحی و پیاده‌سازی یک درهم‌ساز مقاوم و امن تصاویر دیجیتال" پایان‌نامه کارشناسی ارشد دانشگاه علم و صنعت ایران ۱۳۸۸.
- [2] " Cryptography : Theory & Practice " 3e , By : D.Stinson , Chapman & hall , 2006.
- [3] H.Sencar , N.Memon , " Combatting ambiguity attacks via selective detection of embedded watermarks " , IEEE Trans. On Information Forensics & Security , Vol.2 , No.4 , DEC 2007 .
- [4] H.Sencar , N.Memon , " Watermarking & ownership problem : a revisit " , DRM 05 , Nov 2005.
- [5] C.Lu , S.Sun , P.Chang , " Robust hash-based image watermarking with resistance to geometric distortions and watermark-estimation attacks " SPIE-IS&T Electronic Imaging Vol.5681 , 2005 .
- [6] C.Lu , C.Yu , " On the security of mesh-based media hash-dependent watermarking against protocol attacks " , IEEE Conf , 2005 .
- [7] C.Lu , S.Sun , C.Hsu , P.Chang , " Media hash-dependent image watermarking resilient against both geometric attacks and estimation attacks based on false positive-oriented detection " , IEEE Trans . on Multimedia , Vol.8 , No 4 , Aug 2006 .
- [8] J. Cannons and P. Moulin, "Design and statistical analysis of a hash aided image watermarking system,"